

Nociones teóricas

Para una distribución de masa ρ

De la ley de Newton la fuerza gravitatoria ejercitada en el punto x es:

$$F(x) = G \int \frac{x' - x}{|x' - x|^3} \rho(x') d^3x \text{ y después de hacer cálculos llegamos a}$$

$$\nabla F(x) = -4\pi G \rho(x)$$

Definimos el potencial gravitatorio $\Phi(x) = -G \int \frac{\rho(x')}{|x' - x|} d^3x$. Observamos que $F(x) = -\nabla \Phi$ y después de reemplazar en la ecuación de antes se obtiene la ecuación de Poisson: $\nabla^2 \Phi = 4\pi G \rho$

En coordenadas esféricas (r, θ, φ) **con simetría esférica** (las funciones solo dependen de r y no de la posición en la esfera de radio r : los ángulos θ y φ), así que las derivadas totales coinciden con las derivadas parciales $\frac{d\Phi(r)}{dr} = \frac{\partial \Phi(r)}{\partial r}$; $\nabla \Phi(r) = \frac{\partial \Phi(r)}{\partial r}$ y $\nabla^2 \Phi(r) = \frac{1}{r^2} \frac{\partial}{\partial r} (r^2 \frac{\partial \Phi(r)}{\partial r})$
 La ecuación Poisson: $\frac{1}{r^2} \frac{\partial}{\partial r} (r^2 \frac{\partial \Phi(r)}{\partial r}) = 4\pi G \rho(r) \implies r^2 \frac{\partial \Phi(r)}{\partial r} = 4\pi G \int r^2 \rho(r) dr + K_1 \implies \frac{\partial \Phi(r)}{\partial r} = \frac{4\pi G}{r^2} \int r^2 \rho(r) dr + \frac{K_1}{r^2} \implies \Phi(r) = 4\pi G \int \frac{1}{r^2} (\int r^2 \rho(r) dr) dr + K_1 \int \frac{1}{r^2} dr + K_2 = 4\pi G \int \frac{1}{r^2} (\int r^2 \rho(r) dr) dr + \frac{K_1}{r} + K_2, K_1, K_2 \in \mathbb{R} (\text{el signo} - \text{con } K_1)$

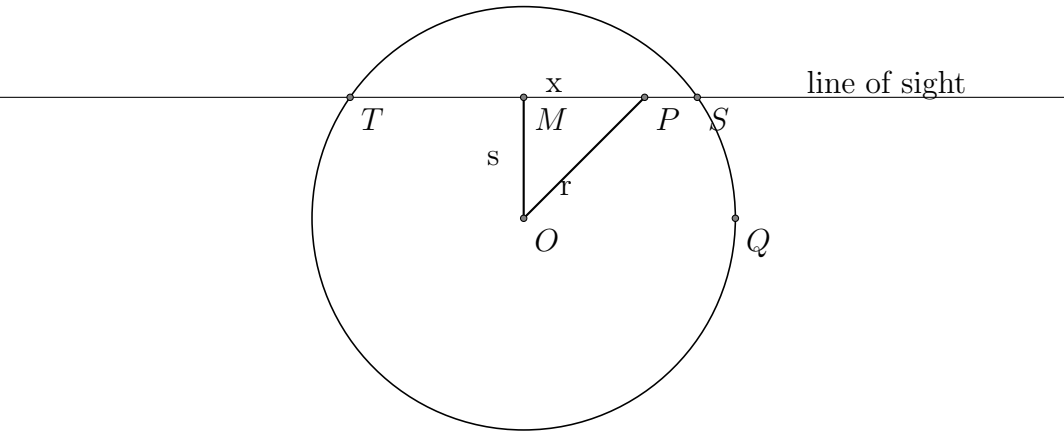
Definimos la velocidad circular: la velocidad de una partícula en una órbita circular de radio r : $v_c^2(r) = r \frac{\partial \Phi(r)}{\partial r} \implies v_c^2(r) = \frac{4\pi G}{r} \int r^2 \rho(r) dr + \frac{K}{r}, K \in \mathbb{R} \implies v_c(r) = (\frac{4\pi G}{r} \int r^2 \rho(r) dr + \frac{K}{r})^{\frac{1}{2}}, K \in \mathbb{R}$

La masa $M(r) = 4\pi \int r^2 \rho(r) dr + K, K \in \mathbb{R}$

Las constantes de integración se eligen de tal forma que verifiquen las condiciones de contorno: $\lim_{x \rightarrow +\infty} \Phi(x) = 0, v_c(0) = 0, M(0) = 0$

En un sistema con simetría esférica: la proyección de una función $f(r)$ en el plano y, z (a lo largo de la línea de visión OX) es la función: $F(s) = \int_{-\infty}^{\infty} f(r) dx$ donde s es la distancia desde el centro del círculo en el plano proyectado ($s^2 = y^2 + z^2$)

$$r^2 = x^2 + s^2 \text{ y la simetría esférica } \implies F(s) = 2 \left| \int_0^{\infty} f(\sqrt{x^2 + s^2}) dx \right|$$



Problema de la práctica

Hipótesis: $\rho(r) = \rho_c e^{-\frac{r}{r_0}}$

Determinar $\Phi(r)$, $M(r)$, $M_p(r)$, $v_c(r)$

Para calcular estas funciones de forma numérica hay que establecer los límites de integración y las constantes

Miramos el gráfico de la función: $f(r) = r^2 \rho_c \exp(-r/r_0)$ observamos que f

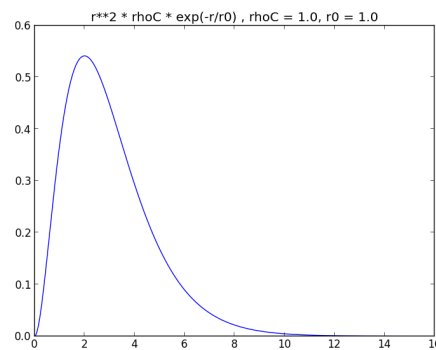


Figura 1: $r^2 \rho_c e^{-\frac{r}{r_0}}$

es continua y $f(0) = 0$

$$\int r^2 e^{-Br} dr = \int_0^r x^2 e^{-Bx} dx$$

Miramos el gráfico de la función $f(r) = \frac{1}{r^2} \int_0^r \rho_c e^{-\frac{x}{r_0}} dx$ que no está definida en 0 pero es continua en $(0, \infty)$ y $\lim_{x \rightarrow 0} f(x) = 0$

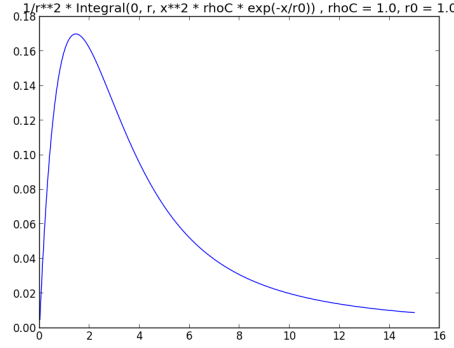


Figura 2: $\frac{1}{r^2} \int_0^r x^2 \rho_c e^{-\frac{x}{r_0}} dx$

$\Phi(r) = 4\pi G \rho_c \int_{\varepsilon}^r \frac{1}{x^2} (\int_0^x a^2 e^{-\frac{a}{r_0}} da) dx + K_2$ (elegimos $K_1 = 0$ y K_2 de tal manera que $\lim_{x \rightarrow +\infty} \Phi(x) = 0$, en práctica $K_2 = -\Phi(R_{max})$)

$v_c(r) = (\frac{4\pi G \rho_c}{r} \int_0^r x^2 e^{-\frac{x}{r_0}} dx)^{\frac{1}{2}}$ (la constante de integración es 0 porque $v_c(0) = 0$)

$M(r) = 4\pi \rho_c \int_0^r x^2 e^{-\frac{x}{r_0}} dx$ (la constante de integración es 0 porque $M(0) = 0$)

La proyección de la distribución de densidad en el plano YOZ $D_p(s) = 2\rho_c |\int_0^\infty e^{-\frac{\sqrt{s^2+x^2}}{r_0}} dx|$

Los gráficos se realizaron con un programa python (en el repositorio git: <https://github.com/beevageeva/potencial>) tomando las constantes de integración 0 y usando las expresiones iniciales (sin hacer la integración por partes). Las integraciones se calculan de forma numérica y observando los gráficos de las funciones que se integran estas son continuas y tienen el valor 0 en el punto 0 así que se pueden tomar los límites de integración 0 y r. Se muestran los gráficos para ρ_c en $\{0.5 \cdot 10^5, 10^5, 1.5 \cdot 10^5, 2.0 \cdot 10^5\}$ y r_0 en $\{0.5 \cdot 10^9, 10^9, 1.5 \cdot 10^9, 2 \cdot 10^9\}$. Todas las cantidades están expresadas en las unidades SI: densidad kg/m³,

distancia m, potencial J/kg, densidad proyectada kg/m², velocidad m/s
y se consideró la constante gravitacional $G = 6.6 * 10^{-11} m^3 / (kg * s^2)$

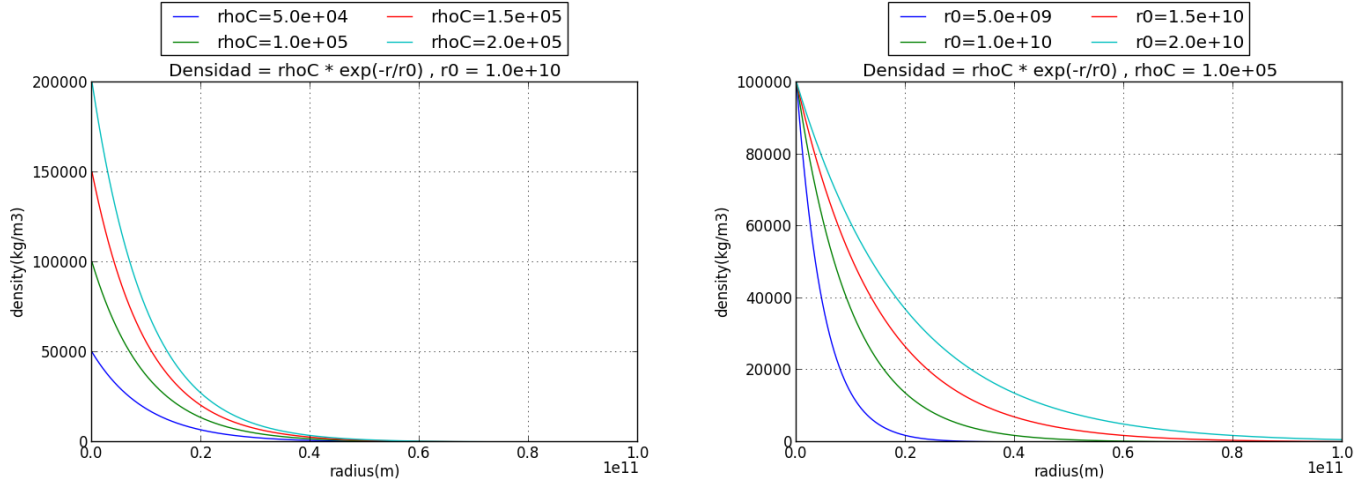


Figura 3: *Densidad*

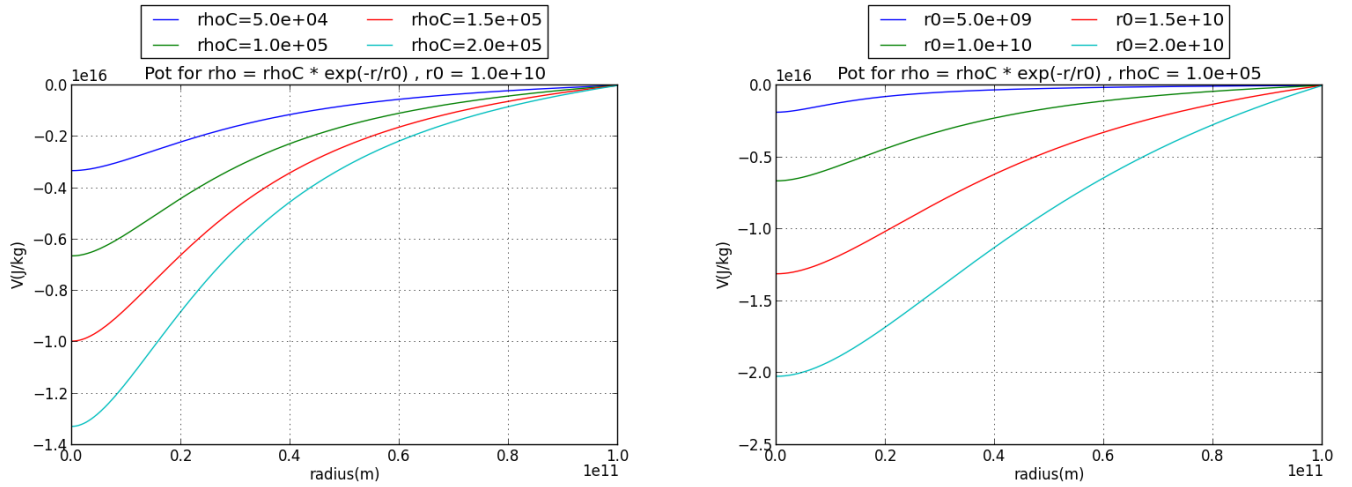
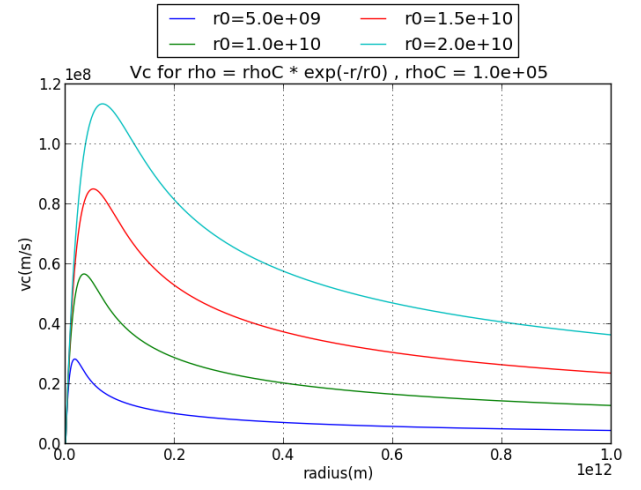
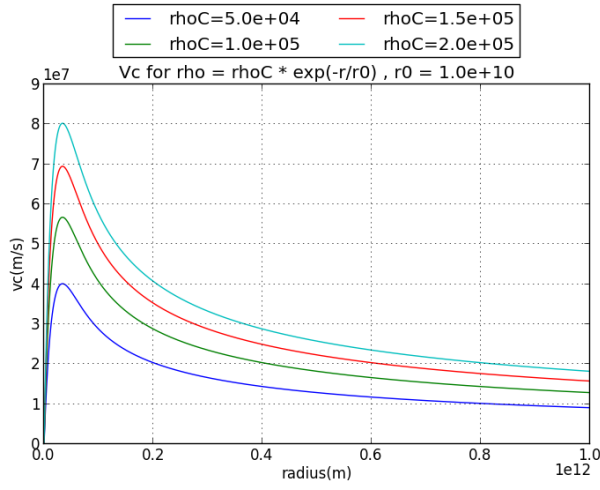
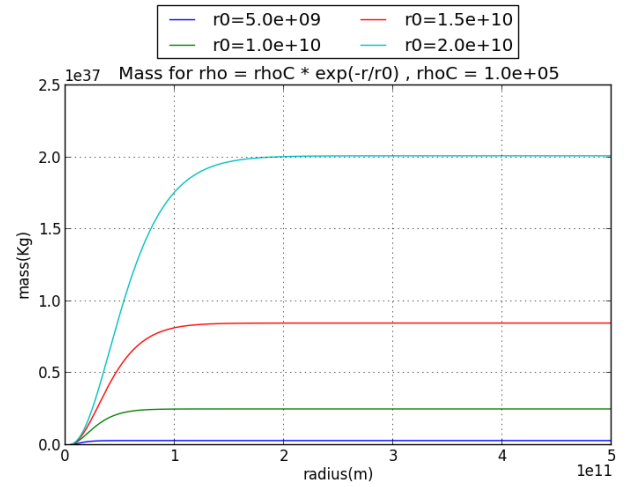
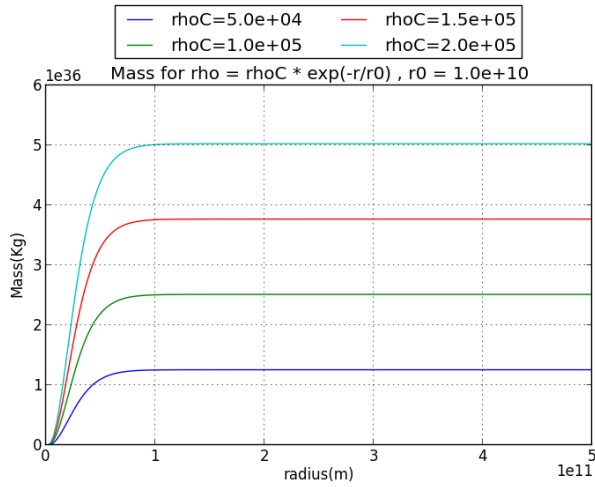


Figura 4: *Potencial*

Figura 5: *Velocidad circular*Figura 6: *Masa*

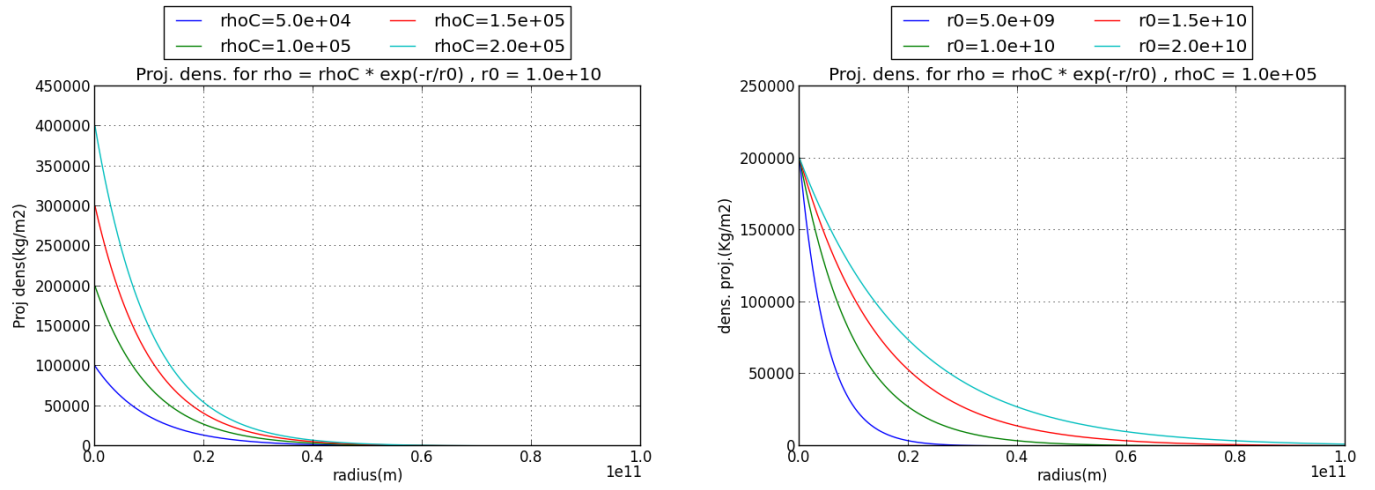


Figura 7: *Densidad proyectada*

Solución analítica

$$\rho(r) = \rho_c e^{-\frac{r}{r_0}}$$

Integrando por partes 2 veces:

$$\begin{aligned} \int_0^r x^2 e^{-\frac{x}{r_0}} dx &= -r_0 \int_0^r x^2 (e^{-\frac{x}{r_0}})' dx = -r_0 \left((x^2 e^{-\frac{x}{r_0}}) \Big|_0^r - 2 \int_0^r x e^{-\frac{x}{r_0}} dx \right) = \\ &= -2r_0^2 \int_0^r x (e^{-\frac{x}{r_0}})' dx - r_0 r^2 e^{-\frac{r}{r_0}} = -2r_0^2 \left((x e^{-\frac{x}{r_0}}) \Big|_0^r - \int_0^r e^{-\frac{x}{r_0}} dx \right) - \\ &= r_0 r^2 e^{-\frac{r}{r_0}} = -2r_0^3 e^{-\frac{x}{r_0}} \Big|_0^r - 2r_0^2 r e^{-\frac{r}{r_0}} - r_0 r^2 e^{-\frac{r}{r_0}} = 2r_0^3 - 2r_0^3 e^{-\frac{r}{r_0}} - \\ &= 2r_0^2 r e^{-\frac{r}{r_0}} - r_0 r^2 e^{-\frac{r}{r_0}} = 2r_0^3 - r_0 e^{-\frac{r}{r_0}} (2r_0^2 + 2r_0 r + r^2) \end{aligned}$$

$$\begin{aligned} \Rightarrow \int_{\varepsilon}^r \frac{1}{x^2} \left(\int_0^x y^2 e^{-\frac{y}{r_0}} dy \right) dx &= -r_0 \left(-2r_0^2 \int_{\varepsilon}^r \frac{1}{x^2} dx + r_0^2 \int_{\varepsilon}^r \frac{1}{x^2} e^{-\frac{x}{r_0}} dx + \right. \\ &= 2r_0 \int_{\varepsilon}^r \frac{1}{x} e^{-\frac{x}{r_0}} dx + \int_{\varepsilon}^r e^{-\frac{x}{r_0}} dx \Big) = r_0^2 \left(2r_0 \left(\frac{1}{\varepsilon} - \frac{1}{r} \right) + e^{-\frac{r}{r_0}} - r_0 \int_{\varepsilon}^r \frac{1}{x^2} e^{-\frac{x}{r_0}} dx - \right. \\ &= 2 \int_{\varepsilon}^r \frac{1}{x} e^{-\frac{x}{r_0}} dx \Big) \end{aligned}$$

$$\text{Integrando por partes } \int_{\varepsilon}^r \frac{1}{x^2} e^{-\frac{x}{r_0}} dx = - \left(\frac{e^{-\frac{x}{r_0}}}{x} \right) \Big|_{\varepsilon}^r - \frac{1}{r_0} \int_{\varepsilon}^r \frac{1}{x} e^{-\frac{x}{r_0}} dx$$

$$\Rightarrow \Phi(r) = 4\pi G \rho_c r_0^2 \left(2r_0 \left(\frac{1}{\varepsilon} - \frac{1}{r} \right) + e^{-\frac{r}{r_0}} + r_0 \left(\frac{e^{-\frac{r}{r_0}}}{r} - \frac{e^{-\frac{\varepsilon}{r_0}}}{\varepsilon} \right) - \int_{\varepsilon}^r \frac{1}{x} e^{-\frac{x}{r_0}} dx \right)$$

Usando programas que trabajan con símbolos matematicos (Mathematica y sympy (python) producen los mismos resultados) se comprueba la primera integral (que se calculó de forma analítica por partes antes), pero reduce más la segunda integración:

$$\begin{aligned} \int_{\varepsilon}^r \frac{1}{x^2} \left(\int_0^x a^2 e^{-\frac{a}{r_0}} da \right) dx &= r_0^2 \left(\frac{2r_0}{\varepsilon} - \frac{e^{-\frac{\varepsilon}{r_0}} (\varepsilon + 2r_0)}{\varepsilon} + \frac{-2r_0 + e^{-\frac{r}{r_0}} (r + 2r_0)}{r} \right) \Rightarrow \Phi(r) = \\ &= 4\pi G \rho_c r_0^2 \left(\frac{2r_0}{\varepsilon} - \frac{e^{-\frac{\varepsilon}{r_0}} (\varepsilon + 2r_0)}{\varepsilon} + \frac{-2r_0 + e^{-\frac{r}{r_0}} (r + 2r_0)}{r} \right) \end{aligned}$$

$$M(r) = 4\pi \rho_c \int_0^r x^2 e^{-\frac{x}{r_0}} dx = 4\pi \rho_c r_0 (2r_0^2 - 2r_0^2 e^{-\frac{r}{r_0}} - 2r_0 r e^{-\frac{r}{r_0}} - r^2 e^{-\frac{r}{r_0}})$$

$$v_c(r) = \left(\frac{4\pi G \rho_c}{r} \int_0^r x^2 e^{-\frac{x}{r_0}} dx \right)^{\frac{1}{2}} = \left(4\pi G \rho_c r_0 \left(\frac{2r_0^2}{r} - e^{-\frac{r}{r_0}} \left(2\frac{r_0^2}{r} + 2r_0 + r \right) \right) \right)^{\frac{1}{2}}$$

Gráficos de las funciones calculadas de forma analítica (las fórmulas de arriba) (se observa que son parecidos a la solución completamente numérica de antes)

$$\begin{aligned} \text{In}[7]:= & \text{Trace}\left[\int_{\epsilon ps}^{\tau} \frac{2 r^0{}^3 - e^{-\frac{x}{r^0}} r^0 \left(2 r^0{}^2 + 2 r^0 x + x^2\right)}{x^2} dx\right] \\ \text{Out}[7]= & \left\{\left\{\left\{\left\{\left\{\left\{\left\{\frac{x}{r^0}, \frac{x}{r^0}\right\}, -\frac{x}{r^0}, -\frac{x}{r^0}\right\}, e^{-\frac{x}{r^0}}\right\}, e^{-\frac{x}{r^0}} r^0 \left(2 r^0{}^2 + 2 r^0 x + x^2\right)\right\}, \right.\right. \\ & \quad \left.-\left(e^{-\frac{x}{r^0}} r^0 \left(2 r^0{}^2 + 2 r^0 x + x^2\right)\right), -e^{-\frac{x}{r^0}} r^0 \left(2 r^0{}^2 + 2 r^0 x + x^2\right)\right\}, \right. \\ & \quad \left.2 r^0{}^3 - e^{-\frac{x}{r^0}} r^0 \left(2 r^0{}^2 + 2 r^0 x + x^2\right)\right\}, \left\{\frac{1}{x^2}, \frac{1}{x^2}\right\}, \frac{2 r^0{}^3 - e^{-\frac{x}{r^0}} r^0 \left(2 r^0{}^2 + 2 r^0 x + x^2\right)}{x^2}, \\ & \quad \frac{2 r^0{}^3 - e^{-\frac{x}{r^0}} r^0 \left(2 r^0{}^2 + 2 r^0 x + x^2\right)}{x^2}\right\}, \int_{\epsilon ps}^{\tau} \frac{2 r^0{}^3 - e^{-\frac{x}{r^0}} r^0 \left(2 r^0{}^2 + 2 r^0 x + x^2\right)}{x^2} dx, \\ & \quad \left\{\left\{\text{FreeQ}\left[\frac{2 r^0{}^3 - e^{-\frac{x}{r^0}} r^0 \left(2 r^0{}^2 + 2 r^0 x + x^2\right)}{x^2}, \right.\right. \right. \\ & \qquad \text{HoldPattern}\left[\text{Root}\left[\text{Integrate}'\text{ImproperDump}`aa$, # ; \right. \right. \\ & \qquad \left. \left. \text{Internal`DependsOnQ}\left[\left\{\text{Integrate}'\text{ImproperDump}`aa$, x\right]\right], \text{True}\right\}, \right. \\ & \quad \left.!\text{True}, \text{False}\right\}, \int_{\epsilon ps}^{\tau} \frac{2 r^0{}^3 - e^{-\frac{x}{r^0}} r^0 \left(2 r^0{}^2 + 2 r^0 x + x^2\right)}{x^2} dx, \\ & \quad \text{ConditionalExpression}\left[r^0{}^2 \left(\frac{2 r^0}{\epsilon ps} - \frac{e^{-\frac{\epsilon ps}{r^0}} (\epsilon ps + 2 r^0)}{\epsilon ps} + \frac{-2 r^0 + e^{-\frac{x}{r^0}} (r + 2 r^0)}{r}\right), \right. \\ & \quad \left.\left(\epsilon ps^2 \neq \epsilon ps \wedge \&\Re\left[\frac{\epsilon ps}{-\epsilon ps + r}\right] \geq 0\right) || \Re\left[\frac{\epsilon ps}{\epsilon ps - r}\right] > 1 || \frac{\epsilon ps}{\epsilon ps - r} \notin \text{Reals}\right\}] \end{aligned}$$

Figura 8: *Trace in Mathematica*

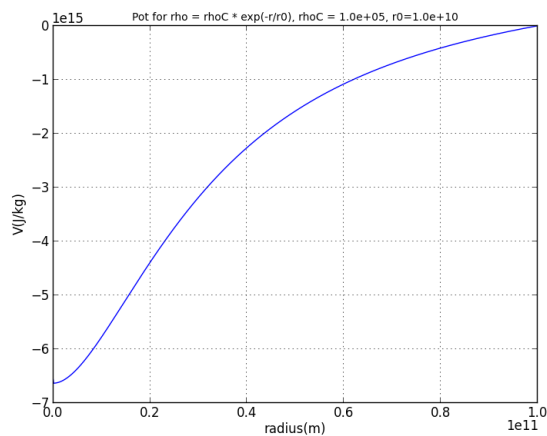


Figura 9: *Potencial*

- Hay otro programa python mas general que tiene como entrada la función de densidad (que puede tener parámetros que se pueden variar

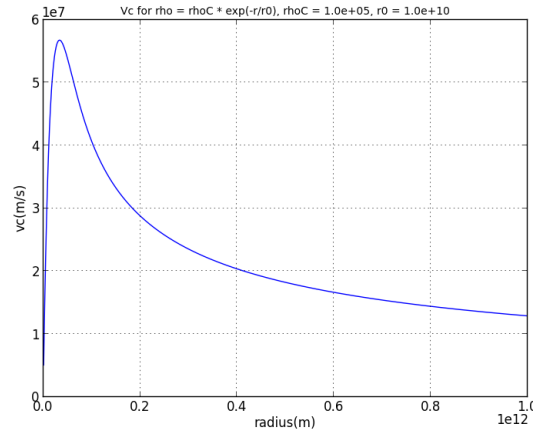


Figura 10: *Velocidad circular*

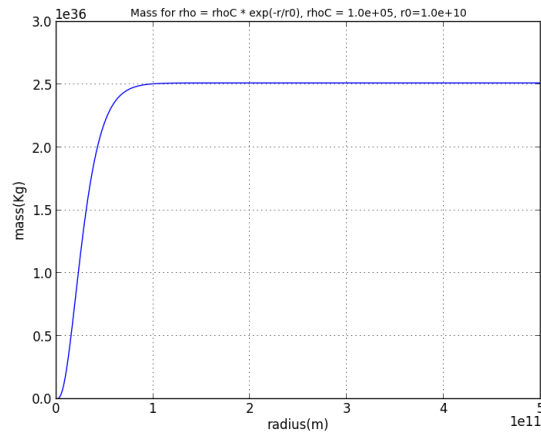


Figura 11: *Masa*

durante la ejecución a través de un slider) y calcula el potencial, velocidad circular, masa y distribución proyectada de masa según el caso general, pero tiene la posibilidad de representar el gráfico de las funciones calculadas de modo analítico (ver readme en la misma carpeta)

- Para el potencial resolver la ecuación diferencial de segundo grado implica tener 2 constantes de integración, para la V_c y masa hay solo

una, variando la segunda constante en el caso del potencial y la única constante para la masa y velocidad y distribución proyectada solo hace una traslación a los gráficos de las funciones (sumando la constante), pero la forma queda igual así que solo tiene sentido tener en cuenta variar $K1$ en el caso del potencial

- Hay un slider con cual se puede cambiar el rango del radius desde $10^{*}1$ hasta $10^{*}30$
- Se muestran los gráficos en el caso $A = B = 1$ ($\Rightarrow r_0 = \rho_c = 1$) y constantes de integración 0 para poder comprobarlos con los otros (donde hay 2 gráficos, el segundo está calculado con las fórmulas de la integración por partes: ver calc_exp.py)

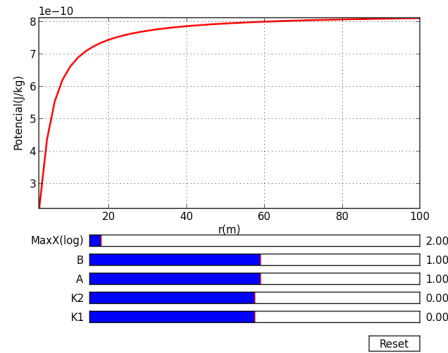
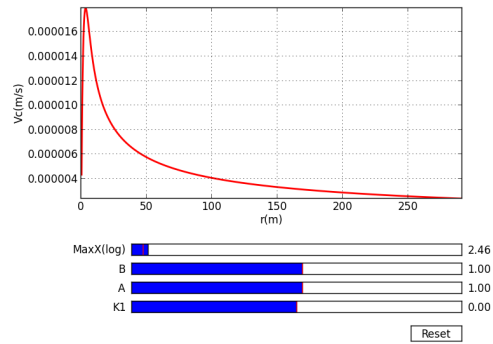
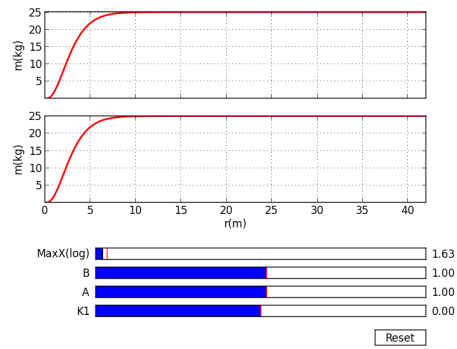
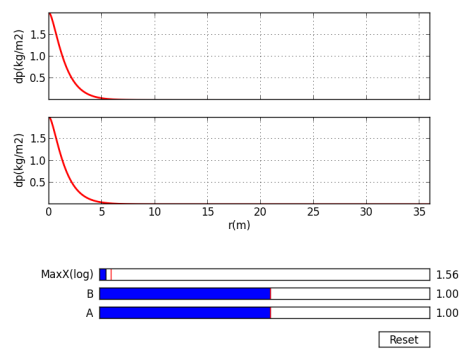


Figura 12: *Potencial*

Figura 13: *Velocidad circular*Figura 14: *Masa*Figura 15: *Densidad proyectada*